

# ЧИСЛЕННОЕ МОДЕЛИРОВАНИЕ ТУРБУЛЕНТНОГО ГОРЕНИЯ ГАЗООБРАЗНОГО ТОПЛИВА В ОСЕСИММЕТРИЧНЫХ КАМЕРАХ

Г. С. Асланян, И. Л. Майков

Институт высоких температур РАН, 111250 Москва

Разработаны математическая модель и численный алгоритм расчета процессов горения газообразного топлива в двумерных турбулентных потоках. Модель включает в себя систему основных дифференциальных уравнений сохранения для газовой фазы, дополненную уравнениями энергии и скорости диссипации турбулентных пульсаций для расчета коэффициента турбулентной вязкости; функцию смешения предварительно неперемешанных потоков и ее дисперсию для описания влияния турбулентности на концентрацию компонентов, на температуру и скорость химических реакций в рамках вероятностного подхода с введением функции плотности вероятности, имеющей первый момент — функцию смешения, второй — дисперсию функции смешения. Проведено сравнение результатов расчетов с экспериментальными данными. Показана работоспособность модели как в предположении термодинамического равновесия, так и с учетом конечной кинетики. Достигнуто удовлетворительное соответствие с экспериментальными данными.

## ВВЕДЕНИЕ

При решении большинства задач гидродинамики и горения, включающих турбулентность, достаточно знать средние значения параметров течения и некоторые количественные характеристики отклонения этих величин от средних значений. Уравнения, полученные в результате осреднения, содержат члены, описывающие корреляции различных порядков (например,  $\overline{U'V'}$ ,  $\overline{Y_1'Y_2'}$ ,  $\overline{T'^2}$ ,  $\overline{T'Y_1'}$  и др.). Для замыкания необходимы некоторые модельные гипотезы.

В настоящее время существуют несколько подходов к данной проблеме. В одном из них для замыкания используются математические выражения для связи пульсационных характеристик со средними значениями потока (например,  $k - \varepsilon$ -модель турбулентности, в которой используется обобщенная гипотеза Прандтля — Колмогорова [1]). В другом подходе для соответствующих корреляций выводятся транспортные уравнения, которые, в свою очередь, содержат корреляции [2], но уже более высокого порядка, определение которых ведется в рамках той или иной физически обоснованной модели. Третий подход состоит в описании средних значений и корреляций в рамках вероятностного метода [3–6] с введением совместного характеристического функционала плотности вероятности для всех пере-

менных  $P(b_1, \dots, b_j) db_1 \dots db_j$ . Данный подход очень труден в реализации, так как нет надежных численных методов решения функциональных уравнений.

Альтернативный способ использования метода функции плотности вероятности (ФПВ) состоит не в решении функционального уравнения, а в расчете различных корреляционных членов в уравнениях сохранения с помощью ФПВ, форма которой предполагается заданной [7–9].

Настоящая работа посвящена использованию метода ФПВ для получения средних значений параметров потока как в приближении локального термодинамического равновесия, так и с учетом конечной кинетики при турбулентном горении в осесимметричных камерах предварительно неперемешанных коаксиальных потоков топлива и окислителя. Разработаны численные процедуры для решения модельных уравнений, проведены численные расчеты и сравнение с экспериментальными данными по горению метана в воздухе (термодинамическое приближение с учетом турбулентных пульсаций) и водорода в воздухе (кинетическое приближение с учетом турбулентных пульсаций).

## СИСТЕМА УРАВНЕНИЙ ДЛЯ ГАЗООБРАЗНОЙ ФАЗЫ

В цилиндрической системе координат об-

$\Phi$	$\Gamma_\Phi$	$S_\Phi$
1	0	0
$U$	$\mu_e$	$-\frac{\partial p}{\partial x} + \frac{\partial}{\partial x} \left( \mu_e \frac{\partial U}{\partial x} \right) + \frac{1}{r} \frac{\partial}{\partial r} \left( r \mu_e \frac{\partial U}{\partial x} \right)$
$V$	$\mu_e$	$-\frac{\partial p}{\partial r} + \frac{\partial}{\partial x} \left( \mu_e \frac{\partial V}{\partial r} \right) + \frac{1}{r} \frac{\partial}{\partial r} \left( r \mu_e \frac{\partial V}{\partial r} \right) - \frac{2 \mu_e V}{r^2}$
$k$	$\mu_e / \sigma_k$	$G - \rho \varepsilon$
$\varepsilon$	$\mu_e / \sigma_\varepsilon$	$C_1 \frac{\varepsilon}{k} G - C_2 \rho \frac{\varepsilon^2}{k}$
$f$	$\mu_e / \sigma_f$	0
$g$	$\mu_e / \sigma_g$	$C_{g,1} \mu_e \left( \left( \frac{\partial f}{\partial x} \right)^2 + \left( \frac{\partial f}{\partial r} \right)^2 \right) - C_{g,2} \frac{\rho \varepsilon g}{k}$
$Y_i$	$\mu_e / \sigma_{Y_i}$	$S^{Y_i}$
$h$	$\mu_e / \sigma_h$	0

Примечание.  $\mu_e = \mu_l + \mu_t$ ;  $\tilde{\mu}_e = \mu_e \left( 2 \left( \left( \frac{\partial U}{\partial x} \right)^2 + \left( \frac{\partial V}{\partial r} \right)^2 + \left( \frac{V}{r} \right)^2 \right) + \left( \frac{\partial U}{\partial r} + \frac{\partial V}{\partial x} \right)^2 \right)$ ;

$\sigma$  — числа Шмидта соответствующей переменной.

ший вид стационарных дифференциальных уравнений для произвольной переменной  $\Phi$  имеет вид

$$\frac{\partial}{\partial x} (\rho U \Phi) + \frac{1}{r} \frac{\partial}{\partial r} (r \rho V \Phi) - \frac{\partial}{\partial x} \left( \Gamma_\Phi \frac{\partial \Phi}{\partial x} \right) - \frac{1}{r} \frac{\partial}{\partial r} \left( r \Gamma_\Phi \frac{\partial \Phi}{\partial r} \right) = S_\Phi, \quad (1)$$

где  $V$ ,  $U$  — радиальная и осевая составляющие скорости газа;  $x$ ,  $r$  — продольная и радиальная координаты;  $\Gamma_\Phi$  — эффективный коэффициент переноса;  $\rho$  — плотность;  $S_\Phi$  — источниковый член.

Специфика модели состоит в том, что для всех базовых консервативных величин, обобщенных переменной  $\Phi$ , соответствующие уравнения сохранения представимы в виде (1) со своими эффективными коэффициентами переноса  $\Gamma_\Phi$  и источниковыми членами  $S_\Phi$ , описывающими появление и исчезновение величины  $\Phi$ . Выражения для функций  $\Phi$ ,  $\Gamma_\Phi$  и  $S_\Phi$  приведены в таблице. Первое из системы уравнений таблицы соответствует уравнению неразрывности газовой фазы при  $\Phi = 1$ , следующие два — проекциям скоростей движения.

Для описания турбулентности в рамках  $k - \varepsilon$ -модели, в которой вводится турбулентная вязкость  $\mu_t = C_\mu \rho k^2 / \varepsilon$ , где  $k$  — энергия турбулентных пульсаций,  $\varepsilon$  — скорость ее диссипации, и для связи турбулентной вязкости  $\mu_t$  с рассчитанными средними значениями параметров газовой среды используется обобщенная

гипотеза Прандтля — Колмогорова [1]. Эффективная турбулентная вязкость  $\mu_t$  вводится по аналогии с ламинарной вязкостью  $\mu_l$  как коэффициент пропорциональности между корреляционным турбулентным членом и градиентом средней скорости потока:

$$\overline{U'V'} = - \left( \frac{\partial U}{\partial r} + \frac{\partial V}{\partial x} \right) \frac{\mu_t}{\rho}.$$

Здесь и далее штрихом обозначены величины, относящиеся к флуктуациям.

### РАСЧЕТ СРЕДНИХ ЗНАЧЕНИЙ ПАРАМЕТРОВ ПОТОКА С ИСПОЛЬЗОВАНИЕМ ФПВ

При взаимодействии двух потоков разного состава в пределе больших скоростей химических реакций концентрации молекулярных компонентов в каждый момент времени связаны с консервативной скалярной величиной. Статистические характеристики переменных могут быть получены по статистическим характеристикам данной скалярной величины. Имеется несколько скалярных переменных, сохраняющихся при химических реакциях, например массовая доля  $z_i$ :  $i$ -го химического элемента.

Массовые концентрации элементов можно привести к нормализованному виду (граничные условия для всех  $i$ -х элементов одинаковы)

и ввести переменную  $f = \frac{z_i - z_{i,2}}{z_{i,1} - z_{i,2}}$  — функцию смешения, для которой получается уравнение в стандартном виде (1) [10]. Таким образом, физический смысл величины  $f$  — это массовая доля вещества в смеси, внесенная первым потоком (топливо), а  $1 - f$  — внесенная вторым потоком (окислитель).

Для учета влияния турбулентности необходимо введение новой переменной  $g$  — среднеквадратичной флуктуации функции смешения (дисперсия), так как временной масштаб турбулентности скоростного поля отличается от аналогичного масштаба скалярного поля  $f$ . Необходимое модельное уравнение для  $g$  имеет вид (1) [9] с соответствующим источниковым членом, который описывает производство и диссиацию  $g$ , обусловленные влиянием турбулентности на функцию смешения (см. таблицу).

По  $f$  и  $g$ , представляющим собой первый и второй моменты распределения, можно построить произвольную ФПВ, удовлетворяющую следующим условиям [11]:

$$\int_0^1 P(f) df = 1 \text{ — нормировка,}$$

$$\int_0^1 f P(f) df = \bar{f} \text{ — первый момент (среднее),}$$

$$\int_0^1 (f - \bar{f})^2 P(f) df = g \text{ — второй момент (дисперсия).}$$

Исследования, проведенные в [10], показали, что вид ФПВ незначительно влияет на конечные результаты. В настоящей работе используется ФПВ прямоугольной формы [9].

Среднее значение любой величины  $b$  определяется по формуле

$$b = \alpha b_{\text{перв}} + \beta b_{\text{втор}} + (1 - \alpha - \beta) \int_0^1 b(f) df, \quad (2)$$

где  $\alpha$  и  $\beta$  — доли времени, когда поток является только первичным или только вторичным;  $P = 1 - \alpha - \beta$  при  $\alpha = 3g - (1 - \bar{f})(3\bar{f} - 1)$ ,  $\beta = 2\bar{f} - 1 + \alpha$  [9].

В случае конечной кинетики для концентрации каждого газового компонента необходимо решение уравнений вида (1) со своими конвективными, диффузионными и источниками членами, учитывающими появление или исчезновение данного компонента в результате химических реакций.

Уравнение сохранения энергии записывается для энталпии газа  $h$  с учетом энталпии образования отдельных компонентов газовой среды. Уравнения для массовых концентраций  $i$ -го компонента и энталпии газа имеют стандартный вид (1) (см. таблицу).

В общем случае мгновенная скорость реакции не равна просто произведению средних. Представив мгновенные значения концентраций и температуры в виде суммы средних и флуктуационных составляющих и проведя осреднение, получаем следующее выражение для средней скорости бимолекулярной реакции [9]:

$$\begin{aligned} r = -CT^{N-2} \exp\left(\frac{T_f}{T}\right) \bar{Y}_1 \bar{Y}_2 &\left(1 + \frac{\bar{Y}'_1 \bar{Y}'_2}{\bar{Y}_1 \bar{Y}_2}\right) + \\ &+ \left(\frac{P_2 + Q_2 + P_1 Q_1}{T^2}\right) \bar{T}'^2 + \\ &+ (P_1 + Q_1) \left(\frac{\bar{T}' \bar{Y}'_1}{\bar{T} \bar{Y}_1} + \frac{\bar{T}' \bar{Y}'_2}{\bar{T} \bar{Y}_2}\right) + \dots, \quad (3) \end{aligned}$$

где  $P$  и  $Q$  — полиномы, возникающие при разложении и осреднении экспоненты [9];  $T$  и  $T_f$  — текущая температура и температура активации;  $C$  — константа;  $Y$  — массовые концентрации газообразных компонентов; индексы 1 и 2 относятся к топливу и окислителю соответственно.

При численной реализации соотношения (3) ограничимся только выписанными членами бесконечного ряда, что справедливо при  $|T'/T| < 1$ . Таким образом, неизвестными остаются четыре момента второго порядка:  $\bar{Y}'_1 \bar{Y}'_2$ ,  $\bar{T}'^2$ ,  $\bar{T}' \bar{Y}'_1$  и  $\bar{T}' \bar{Y}'_2$ . Для их вычисления используется метод ФПВ:

$$\begin{aligned} \bar{Y}'_1 \bar{Y}'_2 &= \int_0^1 (Y_1^*(f) - \bar{Y}_1)(Y_2^*(f) - \bar{Y}_2) P(f) df = \\ &= \int_0^1 Y_1^*(f) Y_2^*(f) P(f) df - \bar{Y}_1 \bar{Y}_2, \end{aligned}$$

где

$$\bar{Y}_i = \int_0^1 Y_i^*(f) P(f) df, \quad \bar{T} = \int_0^1 T^*(f) P(f) df.$$

Здесь и далее звездочкой обозначены равновесные состояния. Аналогично вычисляются остальные моменты.

Для замыкания системы используется уравнение состояния газа.

Значения постоянных модели турбулентности выбраны в соответствии с [1, 9, 10]:  $C_\mu = 0,09$ ,  $\sigma_k = 0,90$ ;  $C_1 = 1,44$ ,  $\sigma_\epsilon = 1,22$ ;  $C_2 = 1,92$ ,  $\sigma_f = 0,90$ ;  $\sigma_{Y_i} = 0,80$ ;  $C_{g,1} = 2,80$ ,  $\sigma_g = 0,90$ ;  $C_{g,2} = 1,92$ ,  $\sigma_h = 0,90$ .

### ЧИСЛЕННЫЕ МЕТОДЫ

Согласно [12] двойное интегрирование уравнения (1) для каждой переменной  $\Phi$  приводит к его дискретному аналогу, связывающему значение функции  $\Phi$  в точке  $P$  со значениями в соседних точках:

$$A_P \Phi_P = \sum_d A_d \Phi_d + S_U, \quad A_P = \sum_d A_d - S_P;$$

$$d = E, W, N, S,$$

где  $A$  — коэффициент;  $E, W, N, S, P$  — основные узловые точки.

Значения  $S_U$  и  $S_P$  зависят от конкретной переменной  $\Phi$ . Используется сдвинутая (шахматная) сетка. Гидродинамический блок решается в естественных переменных  $U, V, P$  с использованием алгоритма PISO [13], состоящего в расщеплении процесса решения при переходе от  $n$ -й итерации к  $(n+1)$ -й на ряд шагов, на каждом из которых уравнение для давления выделяется из уравнений движения. Для решения указанных выше двумерных разностных уравнений эллиптического типа применяется метод неполной факторизации [14].

### РАСЧЕТ СРЕДНИХ ЗНАЧЕНИЙ ПАРАМЕТРОВ ПОТОКА С ИСПОЛЬЗОВАНИЕМ ФПВ

Численная процедура заключается в следующем:

а) предварительно вычисляются значения  $b$  (концентрация компонентов и температура по элементарному составу и энталпии) как функции мгновенных значений  $f$  (расчет в предположении локального термодинамического равновесия);

б) вычисляются интегралы типа  $\int_0^1 b(f) df$ ;

в) для определения средних значений вычисленные значения интегралов подставляются в (2).

### КОНЕЧНАЯ КИНЕТИКА

Численная процедура заключается в следующем:

а) предварительно вычисляются значения  $Y_i^*$  и  $T^*$  (концентрация компонентов и температура по элементарному составу и энталпии) как функции мгновенных значений  $f$  (расчет в предположении локального термодинамического равновесия);

б) вычисляются интегралы типа

$$\int_0^1 Y_i^*(f) df, \quad \int_0^1 T^*(f) df, \quad \int_0^1 Y_i^*(f) Y_j^*(f) P(f) df,$$

$$\int_0^1 T^*(f) Y_i^*(f) P(f) df, \quad \int_0^1 [T^*(f)]^2 P(f) df;$$

в) для определения средних скоростей реакций вычисленные значения интегралов представляются в [3].

### МЕТОД РАСЧЕТА КОНЦЕНТРАЦИИ МОЛЕКУЛЯРНЫХ КОМПОНЕНТОВ

Несмотря на то, что уравнения для концентраций молекулярных компонентов и энталпии имеют стандартный вид (1), для их решения требуется другой подход.

Связано это с тем, что переменные  $\Phi$  ( $\Phi = Y_i, h$ ) в точке  $P$  могут иметь более сильную зависимость от других переменных в этой же точке (через источниковые члены), чем от значений самой переменной в соседних узловых точках  $E, W, N, S$ .

Рассмотрим следующие функционалы:

$$f_i = A_P^Y Y_{i,P} - \sum_d A_d^Y Y_{i,d} + S_i, \quad f_M = \sum_{i=1}^{NS} Y_i - Y_m; \quad (4)$$

$$f_T = A_P^h \sum_{i=1}^{NS} \left( \frac{h_{i,P}}{RT} \right) Y_{i,P} -$$

$$- \sum_d A_d^h \sum_i \left( \frac{h_{i,d}}{RT} \right) Y_{i,d} + S_h,$$

где  $NS$  — количество компонентов;  $Y_m$  — вспомогательная функция, введенная для контроля точности решений; индекс  $h$  относится к теплообмену,  $d$  — к диффузионным процессам.

Система (4) решалась методом Ньютона — разложением функционалов в ряд Тейлора в окрестности точки  $x_0$ :

$$\sum_{j=1}^{NS} \left( \frac{\delta f_i}{\delta x_j} \right) \Delta x_j = -f_i.$$

В качестве  $x_j$  выбраны величины  $\ln(Y_i)$ ,  $i = 1, \dots, NS$ ;  $\ln(Y_m)$ ,  $\ln(T)$ .

Система уравнений (4) имеет размерность  $NS + 2$  и решается методом исключения Гаусса [15] для заданных  $Y_i^{(0)}$  ( $i = 1, \dots, NS$ ),  $Y_m^{(0)}$ ,  $T^{(0)}$ . В результате решения получаются  $\Delta \ln(Y_i)$ ,  $\Delta \ln(Y_m)$ ,  $\Delta \ln(T)$ . Определив  $\Delta \ln(Y_i)$  из (4), вычисляем новые значения  $Y_i$  по формуле

$$Y_i = Y_i^{(0)} \exp(\alpha_{rel} \Delta \ln(Y_i)),$$

где  $\alpha_{rel}$  — коэффициент релаксации ( $\sigma_{rel} < 1$ ). Аналогично определяются  $Y_m$  и  $T$ .

При численной реализации системы (4) могут возникать осцилляции в итерационном процессе в связи с резким изменением температуры. Во избежание этого уравнение для температуры можно решать отдельно. На первом шаге решается система при  $\Delta \ln(T) = 0$ , а затем с помощью полученных  $Y_i$  ( $i = 1, \dots, NS$ ) и  $Y_m$  решается уравнение для температуры при  $\Delta \ln(Y_i) = 0$  ( $i = 1, \dots, NS$ ) и  $\Delta \ln(Y_m) = 0$ . Обычно требуется несколько итераций для получения сходящегося решения, критерий сходимости определяется следующим образом:  $\Delta Y_i / Y_i < \varepsilon = 0,01$ .

Алгоритм решения:

1. Решается система для  $Y_i$ ,  $Y_m$  методом Ньютона. Определяются новые  $Y_i$  и  $Y_m$ .
2. Решается уравнение для определения  $T$ .
3. При неудовлетворении критерия сходимости переход к п. 1.

## ХАРАКТЕРИСТИКИ КАМЕРЫ СГОРАНИЯ

Цилиндрическая камера сгорания диаметром  $D$  и длиной  $L$  показана на рис. 1.

Топливо и окислитель подаются в камеру сгорания раздельно по цилиндрическим коаксиальным каналам диаметрами  $d_1$  и  $d_2$ . На входе в камеру задаются расходы, температура, давление и состав топлива и окислителя, по которым пересчитываются значения всех переменных на входе (скорость, турбулентные характеристики потоков, плотность и т. д.).

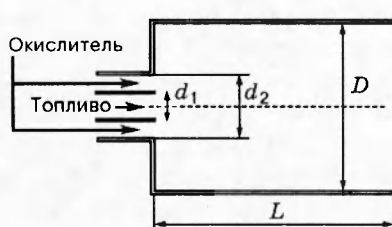


Рис. 1. Схема камеры сгорания

Функция смешения  $f$  равна единице в первичном потоке (топливо) и нулю во вторичном (окислитель).

Кинетическая энергия турбулентных пульсаций  $k$  на выходе определяется из выражения для интенсивности турбулентности:  $k = 0,001(U_0^2 + V_0^2)$ , где индекс нуль соответствует условиям на входе. Скорость диссипации определяется из эмпирической формулы [11]:  $\varepsilon = C_\mu k^{1.5} / 0,3d$ , где  $d$  — диаметр входного отверстия.

Значения коэффициентов апробированы в расчетах турбулентных потоков.

В качестве граничных условий на стенке заданы условие прилипания для скоростей, равенство нулю потоков массы компонентов и температура стенки.

Для определения пульсационных характеристик течения вблизи стенок может быть использован метод пристеночных функций [12]. Введение пристеночных функций позволяет существенно уменьшить количество расчетных узлов в направлении нормали к поверхности. В этом случае граничные условия задаются не на самой стенке, в области вязкого подслоя, где резко изменяются характеристики, а на некотором расстоянии от нее, в так называемом логарифмическом слое.

В пристеночной области на расстоянии  $y_p$  от стенки используются следующие пристеночные функции [12]:

$$\tau_w = \frac{\alpha C_\mu^{1/4} \rho U_p k_p^{1/2}}{\ln(E C_\mu^{1/4} k_p^{1/2} y_p / \nu_l)}; \quad \varepsilon_p = \frac{C_\mu^{3/4} k_p^{3/2}}{\alpha y_p};$$

$$q_w = \frac{(T_u - T_p) c_p C_\mu^{1/4} \rho k_p^{1/2}}{(\sigma_h / \alpha) \ln(E C_\mu^{1/4} k_p^{1/2} / \nu_l)} +$$

$$+ 9,24 \sigma \left( \frac{\sigma_h}{\sigma} \right)^{3/4} \left( \frac{\sigma_h}{\sigma} - 1 \right),$$

где  $E = 9,79$ ;  $\alpha = 0,42$ ;  $\tau_w$ ,  $q_w$  — напряжение трения и тепловой поток на стенке;  $\nu_l$  — динамическая вязкость;  $c_p$  — теплоемкость компонентов.

На оси симметрии применяется условие

$$\frac{\partial \Phi}{\partial r} = 0$$

для всех переменных, а для радиальной скорости —  $V = 0$ .

На выходной границе предполагалось, что

$$\frac{\partial \Phi}{\partial x} = 0$$

и  $V = 0$ .

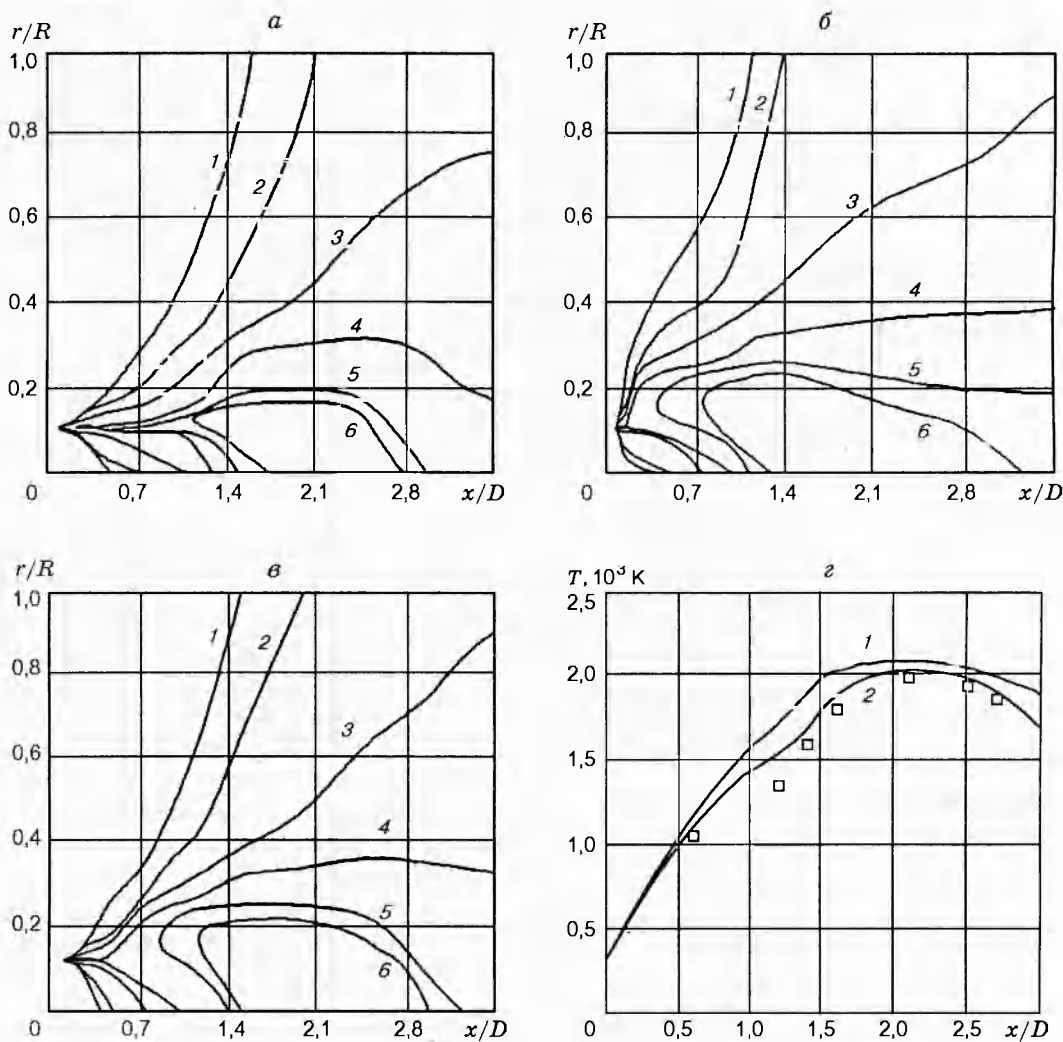


Рис. 2. Распределения температуры:

*a* — эксперимент [17], *б, в* — расчет в приближении термодинамического равновесия соответственно с учетом и без учета турбулентных пульсаций,  $T, \text{K}$ : 1 — 700, 2 — 1100, 3 — 1300, 4 — 1500, 5 — 1700, 6 — 1900; *г* — сопоставление расчетных и экспериментальных [17] данных для распределения температуры вдоль оси реактора, 1, 2 — расчет в приближении термодинамического равновесия соответственно с учетом и без учета турбулентных пульсаций

## РЕЗУЛЬТАТЫ РАСЧЕТОВ

Расчеты проводили на сетке  $92 \times 32$ . При проведении расчетов в приближении локально-го термодинамического равновесия применяли программу «TERM» [16].

Для анализа тепловых режимов использовали результаты экспериментов [17] по измерению температурных полей в камере сгорания метана в воздухе: диаметр камеры  $D = 0,45 \text{ м}$ , диаметры отверстий вводов первичного и вторичного потоков  $d_1 = 0,01 \text{ м}$  и  $d_2 = 0,081 \text{ м}$  соответственно. Расход топлива  $23 \text{ м}^3/\text{ч}$  (81,9 % метана и 18,1 % азота), расход воздуха  $108 \text{ м}^3/\text{ч}$ ; значения чисел Рейнольдса в

обоих потоках одинаковы ( $\text{Re} = 32\,000$ ).

Результаты расчетов представлены на рис. 2. Видно, что наиболее близкая к эксперименту картина наблюдается в случае *б*, т. е. когда учитываются турбулентные флуктуации. В этом приближении модель обеспечивает существование областей, в которых вследствие флуктуации концентрации присутствуют одновременно топливо и окислитель. В результате температурные уровни в них ниже, чем в термодинамическом приближении, предполагающем наличие либо реагентов, либо продуктов реакции в каждой расчетной ячейке.

Важность правильного учета влияния

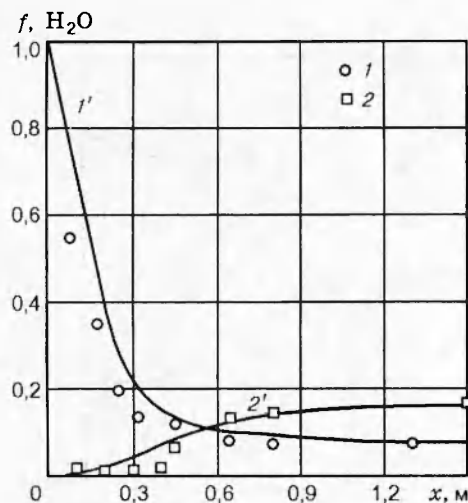


Рис. 3. Моделирование горения метана в коаксиальном потоке воздуха:  
1, 1' — функция смешения, 2, 2' — концентрация паров воды на оси камеры сгорания; точки — экспериментальные данные [18]

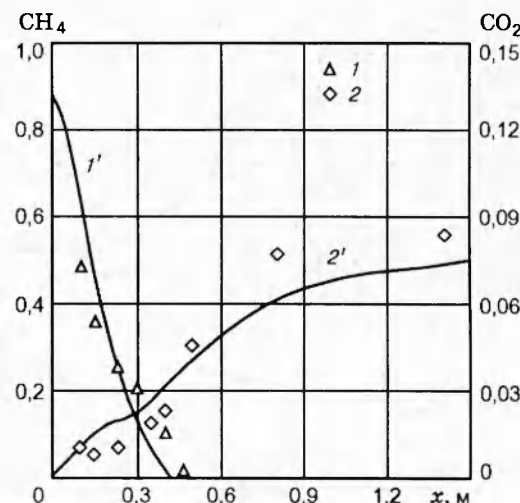


Рис. 4. Моделирование горения метана в коаксиальном потоке воздуха:  
1, 1' и 2, 2' — молярные доли метана и углекислого газа на оси камеры сгорания; точки — экспериментальные данные [18]

турбулентности на распределение температуры демонстрирует и рис. 2,г.

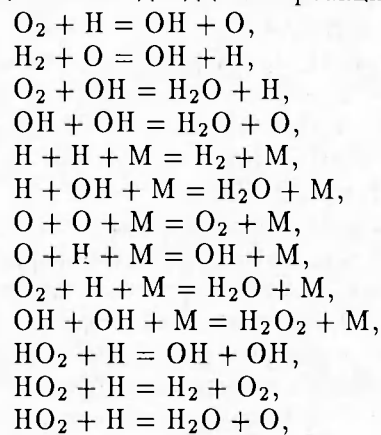
Для проверки адекватности расчетов реагирования двух предварительно неперемешанных коаксиальных турбулентных потоков привлечены экспериментальные данные работы по измерению концентраций продуктов горения метана [18]. Эксперимент проводился в цилиндрическом канале со следующими геометрическими размерами:  $D = 0,203$  м,  $L = 1,524$  м,  $d_1 = 0,016$  м и  $d_2 = 0,057$  м.

Расход топлива 0,0031 кг/с в первичном потоке и 0,0362 кг/с — во вторичном. Первичный поток состоял из смеси метана и азота при температуре 286 К. В качестве вторично-го потока использовался воздух, подогретый до 589 К. Давление составляло 0,85 атм.

Расчеты проводили в приближении локального термодинамического равновесия. Сопоставление расчетных и экспериментальных данных функции смешения и молярных концентраций  $H_2O$ ,  $CH_4$  и  $CO_2$ , представленных на рис. 3, 4, демонстрирует удовлетворительное согласие. Наблюдаемое на начальном участке канала некоторое расхождение расчетных и экспериментальных данных концентраций рассматриваемых компонентов объясняется использованием термодинамического приближения, которое не учитывает конечность скорости горения метана в реальном эксперименте.

Моделирование химически реагирующих потоков проведено также с учетом реальной кинетики газофазных реакций. Кинетические возможности модели проверяли применительно к сжиганию водорода в воздухе. Использованы данные эксперимента [19] в цилиндрическом канале со следующими геометрическими размерами:  $D = 0,208$ ;  $L = 2,5$  м,  $d_1 = 0,005$  м и  $d_2 = 0,104$  м. Скорости первичного и вторичного потоков 70 и 5,1 м/с. Первичный поток, состоящий из смеси азота и водорода (40 % по объему), имел температуру  $T = 297$  К. В качестве вторичного потока использовался воздух, подогретый до 589 К. Коэффициент избытка окислителя равен 20, давление — 1 атм.

Кинетическая схема окисления водорода представлена двадцатью реакциями [20]:



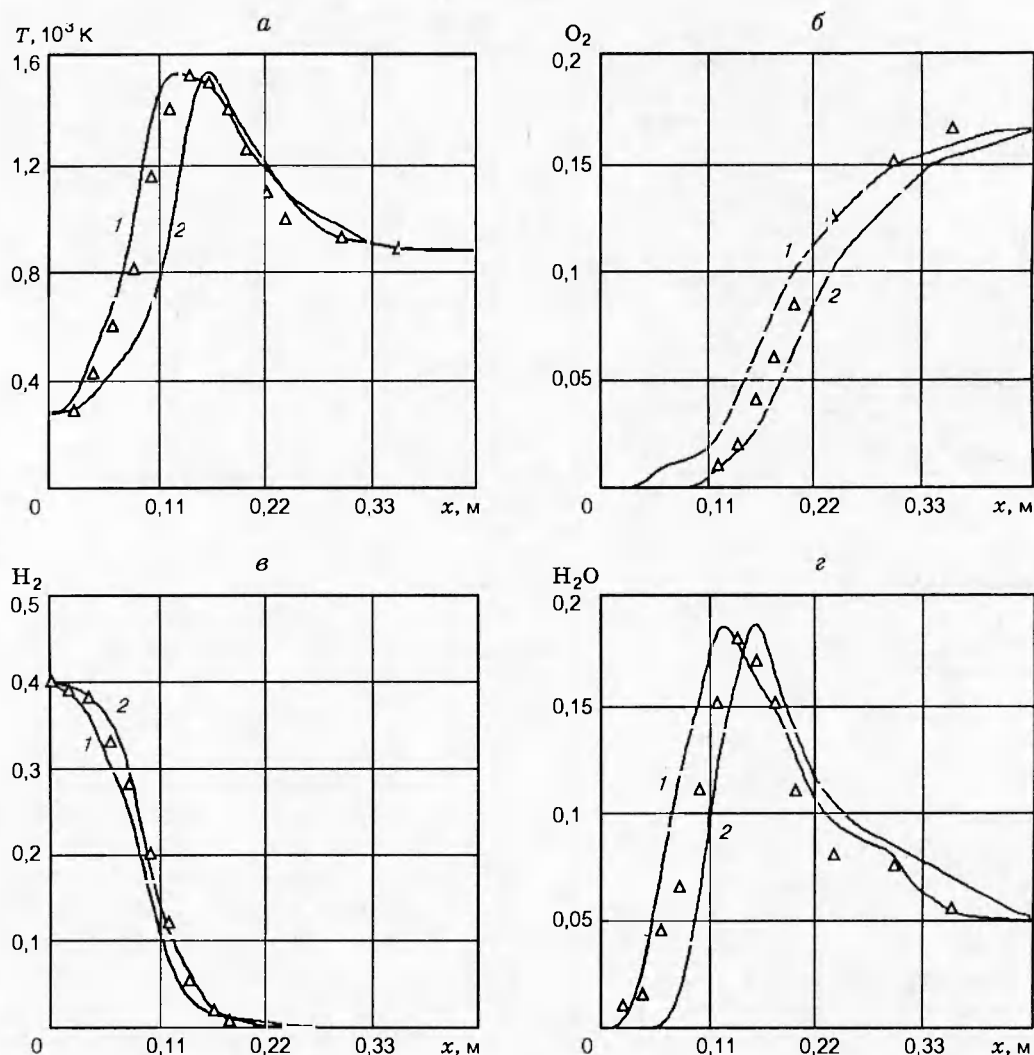
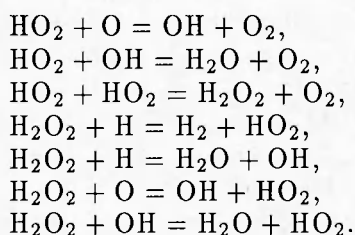


Рис. 5. Распределения температуры продуктов сгорания (а) и объемных концентраций  $O_2$ ,  $H_2$ ,  $H_2O$  (б–г) по длине реактора:

1 — расчет в приближении термодинамического равновесия; 2 — расчет в кинетическом приближении; точки — эксперимент [19]



Константы скорости реакций даны в [20].

На рис. 5 показаны результаты расчетов зависимостей температуры и концентраций  $O_2$ ,  $H_2$ ,  $H_2O$  по длине реактора в термодинамическом и кинетическом приближении. Оба приближения показывают достаточно близкие результаты, что является следствием

высокой скорости реакций и контролирования процесса скоростью перемешивания топлива и окислителя. Из этого следует, что предположение  $|T'/T| < 1$  справедливо для горения водорода, и с достаточной точностью при осреднении скоростей химических реакций можно ограничиваться расчетом только двойных корреляций.

В начальной части реактора состав газа в основном формируется первичным потоком, подаваемым по центру камеры. В аксиальной части кислород на расстоянии примерно до  $0.11 \text{ м}$  от входа реактора практически отсутствует. Рост концентрации  $O_2$  происходит постепенно

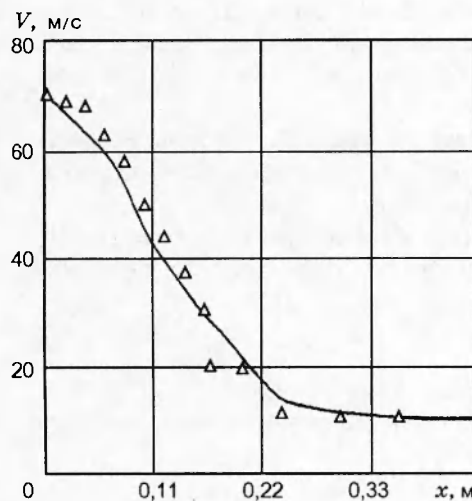


Рис. 6. Расчет аксиальной скорости пламени горения водорода в воздухе в кинетическом приближении:  
точки — экспериментальные измерения [19]

по мере перемешивания потоков, и далее после воспламенения, когда весь водород практически сгорает ( $x > 0,20$  м), кислород становится доминирующим компонентом потока, причем его молярная доля здесь равна концентрации кислорода во вторичном потоке за вычетом прореагировавшей части. Сильным разбавлением потока избыточным окислителем объясняется и уменьшение концентрации продукта сгорания (водяного пара) после завершения горения (см. рис. 5,в). Расчетные зависимости температуры пламени удовлетворительно согласуются с экспериментальными данными, имеющими ярко выраженный максимум в зоне воспламенения.

Хорошее соответствие расчетных и экспериментальных значений аксиальной скорости потока иллюстрирует рис. 6.

Таким образом, в работе реализован метод функции плотности вероятности заданной формы консервативной величины функции смешения для расчета средних значений в предположении локального термодинамического равновесия. Он позволяет правильно предсказать поведение основных переменных. Использование данного подхода при учете конечной кинетики позволяет рассчитывать средние скорости реакций с учетом двойных корреляций. Расчеты показали, что для быстрых химических процессов (горение водорода) приближение локального термодинамического равновесия и конечная кинетика дают практически одинако-

вые результаты, так как в данном случае смешение является лимитирующим фактором процесса.

## ЛИТЕРАТУРА

1. Launder B. E., Spalding D. B. Mathematical Models of Turbulence. London: Academic Press, 1972.
2. Rodi W. A new algebraic relation for calculating the Reynolds stresses // ZAMM 56. 1976.
3. Pope S. B. Computations of turbulent combustion: progress and challenges // Twenty-Third Symp. (Intern.) on Combustion. Pittsburgh, PA: The Combustion Inst., 1990. P. 591.
4. Norris A. T., Pope S. B. Turbulent mixing model based on ordered pairing // Combust. Flame. 1991. V. 83. P. 27.
5. Chen C., Riley J. J., McMurtry P. A. A study of favre averaging in turbulent flows with chemical reaction // Combust. Flame. 1991. V. 87. P. 257.
6. Corea S. M., Pope S. B. Comparison of a monte carlo PDF/finitevolume mean flow model with bluff-body raman data // Twenty-Fourth Symp. (Intern.) on Combustion. Pittsburgh, PA: The Combustion Inst., 1992. P. 279.
7. Bockhorn H., Lutz G. Reaction models for simulation of the oxidation of carbon monoxide in turbulent diffusion flames // Chem. Eng. Technol. 1987. V. 10. P. 43.
8. Philipp M., Hoffman S., Habisreuther P., et. al. Experimental and numerical study concerning stabilization of strongly swirling premixed and nonpremixed flames // Twenty-Fourth Symp. (Intern.) on Combustion. Pittsburgh, PA: The Combustion Inst., 1992. P. 361.
9. Smoot L. D., Pratt D. T. Coal Combustion and Gasification. New York; London: Plenum Press, 1984.
10. Либби П. А., Вильямс Р. Р. Турбулентные течения реагирующих газов. М.: Мир, 1983.
11. Худсон Д. Статистика для физиков. М.: Мир, 1967.
12. Patankar S. V. Numerical Heat Transfer and Fluid Flow. Washington: Hemisphere, 1980.
13. Issa R. I. Solution of the implicit discretised fluid flow equations by operating-splitting // J. Comput. Phys. 1985. V. 62. P. 40.
14. Марчук Г. И. Методы вычислительной математики. М.: Наука, 1989.
15. Крылов В. И., Бобков В. В., Монастырский П. И. Вычислительные методы высшей математики. Минск: Вышэйш. шк., 1972.

16. Асланян Г. С., Иванов П. П., Мунвез С. С. Программы расчета состава, термодинамических и переносных свойств многокомпонентных химически реагирующих гетерогенных систем. М., 1994. (Препр. / ИВТАН; № 3-374).
17. Gunter R., Lenze B. Exchange coefficients and mathematical model of jet diffusion flames // Fourteenth Symp. (Intern.) on Combustion. Pittsburgh, PA: The Combustion Inst., 1972. P. 675.
18. Lewis M. H., Smoot L. D. Turbulent gaseous combustion. Pt 1. Local species concentration measurements // Combust. Flame. 1981. V. 42. P. 183.
19. Takagi T., Shim H., Ishio A. Properties of turbulence in turbulent diffusion flames // Combust. Flame. 1981. V. 40. P. 121.
20. Warnatz J. Combustion Chemistry / W. C. Gardiner, Jr (Ed.). New York: Springer Verlag, 1984.

*Поступила в редакцию 19/IX 1995 г.,  
в окончательном варианте — 5/III 1998 г.*

---